

# TOKAT BÖLGESİ HİDROMORFİK TOPRAKLARININ REDOKSIMORFİK ÖZELLİKLERİ VE REDOKS POTANSİYELLERİ

Alper DURAK

Gaziosmanpaşa Üniversitesi, Ziraat Fakültesi, Toprak Bölümü, Doç. Dr., Tokat

Kenan KILIÇ

Gaziosmanpaşa Üniversitesi, Ziraat Fakültesi, Toprak Bölümü, Arş. Gör., Tokat

## ÖZET

Bu araştırmanın amacı, Tokat bölgesinde yer alan hidromorfik toprakların redoks özelliklerini, oksidasyon-redüksiyon koşullarını ve bu koşullara bağlı olarak redoks değişimlerini belirlemektir.

Bu amaçla Tokat-Çamlıbel ilçesi ve havaalanında bulunan hidromorfik topraklardan birer profil çukuru tanımlanmış, morfolojik, fiziksel, kimyasal, redoks özellikleri ve redoks potansiyelleri belirlenmiştir. Havaalanı hidromorfik toprağının sıcaklık rejimi *thermic*, nem rejimi *aquic* olup, *typic epiaquent* olarak sınıflandırılmış, Çamlıbel hidromorfik toprağının sıcaklık rejimi *mesic*, nem rejimi *aquic* olup *mollic endoaquent* olarak sınıflandırılmıştır.

Her iki toprakta da zamana, profil özelliklerine ve yere göre, redoks potansiyellerin de farklılıkların olduğu gözlenmiştir. Redoks potansiyelinin genellikle üst horizonlardan alt horizonlara, kurak sezondan nemli sezona doğru arttığı belirlenmiştir.

## REDOX POTENTIAL AND REDOX FEATURES OF HYDROMORPHIC SOILS IN TOKAT REGION

### ABSTRACT

The object of this research was to determine redox features, oxidation-reduction conditions of the hydromorphic soils in Tokat region, and the redox changes depending on these conditions.

Two profiles were defined from hydromorphic soils in Çamlıbel and airport in Tokat region, and morphological, physical, chemical, redox features, and redox potential of these profiles were determined. Temperature regime of hydromorphic soil in airport was thermic, and moisture regime was aquic, and this soil was classified as typic epiaquent. In the same way, temperature regime of hydromorphic soil in Çamlıbel was mesic, and moisture regime was aquic, and this soil was classified as mollic endoaquent.

In both soils, The important differences were observed in redox potential according to time, profile features, and place. Generally, redox potential increased from top soil to sub soil, from dry season to wet season.

## GİRİŞ

Aquic nem rejimi, Toprak Taksonomisinde, su ile doygun toprakların bulunduğu toprak suyunun çözülebilir oksijen içermediği kimyasal olarak indirgenmiş koşullarda kullanılmıştır. Toprakların alt ordolara ayrılmasında toprak yüzeyinden 2 metre derinlige kadar sature ve redükte olmuş aquic nem rejim özellikleri dikkate alınır. Alt grup seviyesinde bir sınıflandırmada en alt horizonları doymuş ve indirgenmiş topraklar göz önünde bulundurulur. Seri seviyesinde yapılan bir sınıflandırma için yukarıdaki özelliklerle beraber su tablasının çeşidi, derinliği ve devamlılığı gibi aquic nem özellikleride dikkate alınmalıdır.

Aquic nem rejimi saturasyon ve reduksiyon işlemlerine bir açıklık getirirken, bu özelliklerin ölçümü toprakların sınıflandırılmasında kullanılmaz. Eğer topraklar yılın bazı dönemlerinde doygun ve indirgenmiş ise, aquic nem rejimini belirlemeye toprak renkleri kullanılır. Saturasyon ve reduksiyonun göstergesi olarak genellikle düşük kroma ( $\leq 2$ ) veya gri renkler kullanılır iken bazı topraklarda ise demir beneklerinin varlığında 2,5Y veya 5Y hue'ler kullanılmaktadır.

Herbir toprak serisi için aquic koşullar 3 ayrı özelliğin belirlenmesi ile tanımlanabilir.

1. Saturasyon derinliği
2. Redüksiyonun oluşumu

### 3. Redoksimorfik özelliklerin varlığı

Redoksimorfik özellikler, reduksiyon, translokasyon ve Fe-Mn oksitlerin oksidasyonu ile toprakta oluşmuş Fe nodülleri ve beneklerini içerir. Aquic koşulların tanımlaması için gerekli olan bu 3 özellik birçok durumda oluşur. Saturasyon ve reduksiyon yılın bazı dönemlerinde toprakta devamlı olarak meydana gelir.

Bu çalışmanın amacı;

1. Aquic koşulların belirlenebilmesi için ihtiyaç duyulan tanımlama
2. Aquic koşulları gösteren redoksimorfik özelliklerin morfolojisini belirlemek ve tanımlamak ve
3. Redoksimorfik özellikleri yorumlamak'tır.

### Redoksimorfik Özellikler

Benekler ve düşük kromalı renkler, redoksimorfik özellikler olarak Toprak Taksonomisinde yer almıştır. Bu özellikler reduksiyon, translokasyon ve Fe-Mn oksitlerin oksidasyonu işlemleriyle oluşur. Karbonat birikimi ve organik lekeleri içeren benekler saturasyon ve reduksiyonu göstermez. Başka bir deyişle, redoksimorfik özellikler mevsimsel olarak doygun topraklarda Fe ve Mn bileşiklerinin oksidasyonu ve reduksiyonu ile oluşur.

Redoksimorfik özellikler mikromorfolojiksel kavramlar kullanılarak belirlenmiştir (Bullock et al., 1985). Bu özellikler çiplak gözle veya el lensi ile görülebildiğinden arazide toprak haritalayıcıları tarafından tanımlanabilirler. İnce kesitlerin rutin olan redoksimorfik özellikleri tanımlama ve teşhis etmede kullanılmadığı ve bu özelliklerin mikroskopik incelenmesinin pratik olmadığı söylenebilir.

Aşağıdaki redoksimorfik özellikler profil tanımlaması kullanılarak teşhis edilebilir.

## **1. Redoks Konsantrasyonları**

Fe ve Mn oksitlerin birikiminin gözle görülebildiği parçacıklar (Şekil 1).

**a. Nodüller ve Konkresyonlar** (Şekil 3): Extrem pekişmiş, düzensiz olarak şekillenmiş diffüze sınırlara sahip parçalar. İkiye kırılan konkresyonlar konsentrik tabakalara, oysa nodüller uniform bir iç yapıya sahiptir. Bununla beraber nodül ve konkresyon terimleri genellikle birbirleriyle değişimli olarak kullanılmıştır.

**b. Kütleler** (Şekil 4): Yumuşak kütlelerin şekli genellikle matriks içerisinde değişkendir. Fe oksitlerin birikiminin gözlendiği kütleler "Kırmızımsı Benekler" olarak isimlendirilmiştir.

**c. Por Kanalları** (Şekil 5): Birikme zonları ya por yüzeyinde kaplamalar yada pora bitişik matrikste birikme şeklinde görülür.

## **2. Redoks Azalmaları**

4 veya daha fazla value sahip düşük kromalı ( $\leq$ ) parçacıklar, Fe-Mn oksitler aşağılara yılanır veya burada olduğu gibi Fe-Mn oksitler kille beraber yılanır (Şekil 2).

**a. Demir yılanması:** (Şekil 6A ve B) Kil içeren düşük kromalı parçaların kroması bitişik matriksin kromasına benzerdir. Bu özellikler bazen "Gri Benekler", "Gley Benekleri", "Albanlar" veya "NeoAlbanlar" olarak isimlendirilmiştir. Demir yılanması matriks içinde ve makroporlar boyunca oluşabilir. Toprak matriksi 2'den az bir kromaya sahipse demir yılanma matriksi olarak kabul edilebilir.

**b. Kil yılanması:** (Şekil 6C) Bitişik toprak matriksinden daha az Fe, Mn ve kil içeren parçacıklar matriksten daha az kromaya sahiptir. Bunlar kanallar veya ped yüzeyleri boyunca oluşmuş silt kaplamaları veya skeletanlar olarak tanımlanır. Yılanan kil alttaki horizonlarda ped yüzeylerinde kaplama olarak bulunur.

## **3. Redükte Oluş Matriksler (Şekil 7)**

Fe (II)'yi içeren toprak matriksleri yerinde oluşmuş düşük kromalı renge sahiptir. Fakat havaya maruz kalan Fe(II), Fe(III)'e okside olur, hue ve kromada renk değişir.

Renkdeki değişme, örnek havaya maruz kaldıktan sonra, 30 dakika veya daha az bir zamanda gerçekleşir. Değişken olan bu dönem lokal arazi çalışmaları ile belirlenebilir.

#### 4. İstisnalar

Yukarıda bahsedilmiş olan özellikler Aquic koşulları yansitan redoksimorfik özellikler olarak tam təhis edilemezse, istisna olarak iki durum söz konusudur.

a. Düşük kromalı matriks renkleri saturasyon ve reduksiyonu göstermez. Organik madde birikmesi ile horizonlarda bulunan ve nemli iken 3 veya daha az bir value'ye sahip renkler redoksimorfik özellikler olarak kullanılamaz. Düşük kromalı organik lekeler ve karbonat birikimleri redoksimorfik özellikler olarak dikkate alınmaz. Bu şekilde value sınırında istisnalar oluşur, daha yüksek valueler bazı durumlarda redoksimorfik özellikler tanımlamada hariç tutulmalıdır.

Bu sayılanlara ek olarak, düşük kromalı renkler doğal olarak az veya hiç demir içermeyen bazı ana materyallerden oluşabilir. Aynı zamanda demir, şelatlar gibi organik bileşikler tarafından toprak partiküllerinden uzaklaştırılabilir ve bu reaksiyonlar su ile doygun koşullarda oluşmayabilir. Saturasyon ve reduksiyon ile oluşan düşük kromalı renkler ince tekstürlü topraklardan ziyade çok kumlu topraklarda çok sık olarak bulunma eğilimindedir (Hyde ve Ford, 1989). Buna göre toprakta düşük kromalı renkleri gözlemeden önce saturasyon ve reduksiyon ölçümü ile belirlenmeli sonra toprağın mevsimsel olarak doygun ve indirgenmiş olup olmadığına karar verilmelidir. Yani toprağın doygun ve indirgenmiş olduğu ölçümü ile desteklenmelidir.

b. Fe ve Mn oksitlerden oluşmuş nodüller ve konkresyonlar dayanıklı özelliktedirler ve uzun zaman önce daha ıslak koşullarda kalarak yerinde oluşmuş veya başka yerlerde oluşarak şu anda bulunduğu yere taşınmış olabilir. Kesin sınırlarla ayırt edilebilen nodüller ve konkresyonlar gözlendikleri horizontda oluşmamışlardır, özellikle kil yıkamasının olduğu horizonlarda meydana gelmişlerdir. Şu andaki koşulları gösteren su ile doygunluk ölçümü bilinmiyorsa, nodüller ve konkresyonlar yalnızca var olan özelliklerse, bu gibi durumlarda nodüller ve konkresyonlar redoksimorfik özellikler olarak kullanılmazlar.

## **Redoksimorfik Özelliklerin Oluşumu**

### **Toprak rengi ve Fe ve Mn'ın oksidasyon ve redüksiyon durumları**

Alt toprak horizonlarında, Fe-oksit mineralleri, Fe minerallerinin varlığına bağlı olarak horizonlara kırmızı, kahverengi, sarı veya portakal renklerini verir. Mn-oksit mineralleri siyah renkler meydana getirir. Fe ve Mn-oksitler kum, silt ve kil partiküllerinin yüzeylerini kaplama eğilimindedirler. Yüzeylerinde oksitler olmaksızın bu partiküller gridir.

Demirin okside olduğu durumlarda kırmızı, kahverengi, sarı ve portakal renkleri oluşur. Aynı şekilde manganın okside olduğu durumda (Mn(III) veya Mn(IV)) siyah renkler oluşur. Genel toprak koşulları altında okside olmuş Fe ve Mn kimyasal olarak redükte olabilir. Herbir iyon, organik made gibi, başka bir kaynaktan elektronlar aldığında redüksiyon oluşur. Bu elementler toprakta birkaç olay olduğunda redükte olur.

1. Fe ve Mn oksit mineralleri suda çözülmeye başlar
2. Toprak rengi griye değişir
3. Redükte olmuş Fe(II) ve Mn(II) iyonları toprak suyu ile profiline diğer bölgelere taşınır veya horizon aralarına diffüze olur veya topraktan yılanabilir.

Fe ve Mn'nin redükte olmuş formlarından çok okside formları toprak rengini önemli derecede etkiler. Aynı zamanda Fe(II) bazı renk etkilerine sahip olmasına rağmen, gri toprak rengi aslında kum, silt ve kil partiküllerinin tabii renginin ürünüdür (Ponnamperuma, 1972).

Fe(III) ve Mn(III ve IV) anaerobik koşullar altında organik maddenin bakteriler tarafından ayrıştırılması sırasında redükte olur. Aerobik toprak nemlidir fakat sature değildir, organik artıkların dekompozisyonu sırasında hava ile dolu porlarda bakteri O<sub>2</sub>'i azaltır ve tüketir. Hava azaldıkça porlar su ile dolacak, anaerobik topraklar sature olacaktır. Bu topraklardaki bakteriler toprak suyundaki çözünebilir oksijeni tüketecektir, böylece organik madde ayrışacaktır. Çözünebilir O<sub>2</sub> topraktan uzaklaştığında, toprak suyunun redükte olduğu söylenebilir. Bakteriler organik maddeyi ayrıştırırken bu sırada organik kimyasallar üretilecek NO<sub>3</sub><sup>-</sup> ve N<sub>2</sub> gazı ve Mn(III) ve Fe(III) oksit mineralleri azalacaktır. Bu kimyasal reaksiyonlar sırasıyla oluşur, önce O<sub>2</sub> azalır, daha sonra NO<sub>3</sub><sup>-</sup>,

Mn(III veya IV) oksitler ve en son Fe(III) oksitler redükte olur. Fe-oksit mineralleri  $O_2$ ,  $NO_3^-$  ve Mn-oksitlerden sonra redükte olacaktır. Ölümde kök dokusu gibi organik maddeleri ayırt eden bakteriler dokudaki çözünebilir karbonu bitirir. Eğer çözünebilir karbonun kaynağı köklerse, redüksiyon kök yakınında toprakta meydana gelecektir. Bununla beraber, organik bileşikler suda çözünürse, redüksiyon, porların su ile dolu olduğu durumda toprak horizonunun her yerinde meydana gelebilir. Karbon suda çözünebilir olmalıdır. Organik maddenin hepsi suda çözünebilir olmayabilir, bu nedenle organik madde oluşan redükte koşullarda kullanılmaz (Daniels ve Buol, 1992).

### Fe ve Kil Yıkamasının Oluşumu

Fe ve kil yıkamasının oluşumu birbirine benzerdir ve her ikisinin de yıkaması aynı veya bitişik horizonlar içerisinde oluşabilir. Bu özelliklerin oluşumunun stabil makroporlar boyunca gelişen kökler etrafında gözlenebilmesi gayet kolaydır. Stabil makroporlarda Fe ve kil yıkamasının gözlenebilmesi için kökler aynı makroporlar boyunca gelişmeli ve ölmelidir. arazi çalışmaları bu özelliklerin, az sature olmuş hidrolik kondaktiviteye sahip olan kalın horizonlarda gözlenebildiğini göstermektedir (Daniels et al., 1968; Vepraskas and Wilding, 1983; Ransom et al., 1987).

Stürtütürel çatlak veya kanal boyunca gelişen kökler, demir redüksiyonu için, mikroorganizmaların ihtiyaç duyduğu enerji kaynağını (organik madde) sağlar. Kökler olduğu ve makroporlar su ile doyduğunda, eğer toprak sıcaklıklarını bakterilerin aktif olması için yeterince yüksek ise, bakteriler sudaki oksijeni azaltacak ve kök dokularını çürütecektir.  $O_2$  ve  $NO_3^-$  'nın redüksiyonundan sonra, kanal boyunca toprakta Mn(III ve IV) ve Fe(III)'den ibaret oksit mineralleri redükte olacaktır (Şekil 8b). Çözünmüş olan Mn(II) ve Fe(II) iyonları matriks içerisinde diffüze olur ve redoks konsantrasyonu oluşumu sırasında okside olabilirler. Kanallar boyunca Fe ve Mn'ın taşınması sonucu oluşmuş olan ağarmış tabaka redoks azalmasını özellikle Fe yıkamasını gösterir. Fe'in tamamen yıkaması, Fe ve Mn'ın çok az bulunduğu toprak matriksinden farklıdır. Fe yıkamasının olduğu yer, redoksimorfik özelliği yansitan  $\leq 2$  kromalı bir renge sahip olmalıdır.

Mn ve Fe oksitlerin taşınması kanal boyunca kılın dispers olmasına neden olabilir. Makropor boyunca suyun aşağılara taşınması sırasında gri renkli kıl su içerisinde suspanse olabilir ve daha alt bir horizone taşıdır. Taşınmış kıl kılın yıkandığını gösterir (Şekil 8c). Gri kıl kaplamaları genellikle kıl yıkanmasının olduğu makroporlar boyunca bulunur.

Redüksiyonun artması için çözünebilir karbon gibi bir enerji kaynağına ihtiyaç duyulduğundan, Fe ve kıl yıkanması, köklerin geliştiği kök kanalları ve ped yüzeyleri boyunca oluşacaktır. Karbonca zengin su matriks içerisinde sızar ve redüksiyon koşulları oluşursa, Fe yıkanması toprak matriksi içerisinde olusabilir.

Fe ve kıl yıkanması muhtemelen yavaş yavaş olur. yıkanmanın daha da artması için kökler makropor boyunca büyümeli, ölmeli ve Fe redüksiyonuna neden olması içinde ayırmalıdır. Bununla beraber yıkanma muhtemelen genişliği 2 mm'den büyük stabil makroporlar etrafında olur. Bu gibi makroporlar, çapları 3 cm'den büyük agregatlara sahip kalın B horizonlarında, bioturbasyonun az olduğu horizonlarda olusabilmektedir. A horizonlarında çok fazla bioturbasyon, küçük agregatlar, fiziksel bozulma, organik madde ve organik artıklar olduğundan yıkanma özelliklerinin görülmesi zordur.

### **Redoksimorfik Konsantrasyonun Oluşumu**

Por yolları, kanallar gibi, ped yüzeyleri boyunca meydana gelir (Şekil 5 ve 9). Por yolları bitki kökleri üzerinde bulunur ve doygun topraklarda köklere oksijen taşıyabilirler. Redükte olmuş Fe ve Mn iyonları, hava içeren makroporlara doğru diffüze olur ve makroporlara bitişik kök yüzeylerinde okside olurlar (Fisher ve Stone, 1991). Solusyonda Fe ve Mn'ın her ikiside varsa, Fe daha düşük Eh'de okside olacağından, önce Fe daha sonra ise Mn çökelecektir (Collins ve Buol, 1970). Bununla beraber por yollarına Mn ve Fe oksitlerin dağıldığı görülebilir. Böyle bir dağılım iyonların Fe oksitlerden Mn oksitlere doğru diffüze olduğunu göstermektedir.

## **MATERYAL VE METOD**

### **MATERYAL**

Bu araştırmada kullanılan toprak örnekleri orta Karadeniz bölgesinde, Tokat il sınırları içerisinde yer alan havaalanı ve Çamlıbel-Yatmış kasabası civarında bulunan hidromorfik topraklarda açılan iki toprak profilinden Soil Survey Staff (1975)'da belirtilen esaslara göre alınmıştır. Bu topraklar Toprak Taksonomisine göre sırasıyla typic epiaquent ve mollic endoaquent olarak sınıflandırılmıştır.

### **METOD**

Tekstür analizi Bouyoucos (1952)'e göre, pH, 1:2.5 toprak:su solusyonunda Jackson tarafından belirtilen yönteme göre,  $\text{CaCO}_3$ , Scheibler kalsimetresi ile, organik madde, Walkley-black yöntemine göre, KDK, Jackson (1960)'a göre, değişebilir Na ve K, flame photometre ile, değişebilir Fe ve Mn, Olson ve Ellis (1982)'e göre, DTPA'da ekstrakte edilebilir Fe ve Mn, Lindsay ve Norvell (1978)'e göre, suda çözülebilir Fe ve Mn, Adams (1965)'e göre belirlenmiştir(Çizelge 1).

### **Redoks Potansiyelinin Ölçümü**

Tokat il sınırları içerisinde yer alan çalışma alanı toprakları Kuarterner materyalden oluşmuştur. Çamlıbel-Yatmiş kasabası civarında yer alan hidromorfik toprak'ın nem rejimi aquic, sıcaklık rejimi mesic, havaalanında bulunan hidromorfik toprak'ın nem rejimi aquic, sıcaklık rejimi ise thermic'dir.

Redoks potansiyeli, tanımlanan herbir horizonta kombine platin elektrot ile altı ay boyunca peryodik olarak ölçülmüştür.

## **SONUÇLAR VE TARTIŞMA**

### **Toprakların Morfolojik, Fiziksel ve Kimyasal Özellikleri**

#### **Çamlıbel-Yatmış Hidromorfik Toprağı**

Bu topraklar, %0-2 eğimli, ana materyali alüvyon olan O, A, AC ve C horizonlu, tekstürleri siltli-kil ve kil olan orta derin topraklardır. Renkleri bütün horizonlarda farklılık göstermekte olup, kromaları  $\leq 2$ 'dir. Organik madde miktarları %1.86-17.32 arasında değişmekte ve derinlik ile azalmaktadır. Toprakların KDK'sı yüksek (11.41-35.32 me/100g) baskın katyonları Ca, Mg, Fe ve Mn'dır. Profile ait örneklerin Morfolojik özellikleri aşağıda, Fiziksel ve kimyasal özelliklerini Çizelge 1'de verilmiştir.

Profil no : 1

Yeri : Çamlıbel-Yatmış köyü karayolunun 1 km ilerisi yolun kenarı

Rölyef : %0-2 eğimli taban arazi

Ana materyal : Alüviyal

Vejetasyon : Mer'a, suyu seven bitkiler

#### Horizon Derinlik (cm) Morfolojik Tanım

|                  |       |   |
|------------------|-------|---|
| O                | 0-5   | Koyu kırmızımsı kahverengi (5 YR 3/2) yaşı; siltli kil; masif; az yapışkan az plastik yaşı; orta kireçli; çok yoğun saçak kök; kesin düz sınır                            |
| Ag               | 5-43  | Gri (7,5 Y 5/1) yaşı; kil; çok zayıf yarı köşeli blok; yapışkan plastik yaşı; orta kireçli; yoğun saçak kök; az yoğun Fe benekleri; geçişli dalgalı sınır                 |
| ACg              | 43-60 | Koyu grimsi sarı (2,5 Y 5/2) yaşı; kil; zayıf yarı köşeli blok; yapışkan plastik yaşı; orta kireçli; orta yoğun saçak kök; orta yoğun Fe benekleri; geçişli dalgalı sınır |
| C <sub>1</sub> g | 60-90 | Grimsi sarı kahverengi (10 YR 5/2) yaşı; siltli kil; masif; yapışkan plastik yaşı; orta kireçli; çok az yoğun saçak kök; yoğun Fe benekleri; dalgalı sınır                |
| C <sub>2</sub> g | 90+   | Grimsi kahverengi (7,5 YR 4/2) yaşı; siltli kil; masif; az yapışkan az plastik yaşı; orta kireçli; orta yoğun Fe ve Mn benekleri  |

**Çizelge 1. Çamlıbel-Yatmış köyü hidromorfik topraklarının fiziksel ve kimyasal analiz sonuçları**

| Horizon          | Derinlik<br>(cm) | KDK<br>(me/100g) | Değişebilir Katyonlar (me/100g) |                               |       | Org. Mad.<br>(%)                     | CaCO <sub>3</sub><br>(%) |
|------------------|------------------|------------------|---------------------------------|-------------------------------|-------|--------------------------------------|--------------------------|
|                  |                  |                  | Na                              | K                             | Ca+Mg |                                      |                          |
| O                | 0-5              | 35.32            | 0.39                            | 0.40                          | 34.53 | 17.32                                | 11.19                    |
| Ag               | 5-43             | 23.91            | 0.048                           | 0.27                          | 23.59 | 5.21                                 | 8.86                     |
| Acg              | 43-60            | 20.65            | 0.032                           | 0.26                          | 20.07 | 2.70                                 | 13.10                    |
| C <sub>1</sub> g | 60-90            | 17.93            | 0.027                           | 0.25                          | 17.65 | 2.98                                 | 13.87                    |
| C <sub>2</sub> g | 90+              | 11.41            | 0.021                           | 0.22                          | 11.16 | 1.86                                 | 12.71                    |
| Tekstür          | pH               | Toplam Fe (ppm)  | Deg. Fe (ppm)                   | <u>Suda Çözünebilir (ppm)</u> |       | <u>DTPA'da Exc. Edilebilir (ppm)</u> |                          |
| SiC              | 8.50             | 3625             | 116                             | 112.4                         | 0.959 | 24.951                               | 11.281                   |
| C                | 8.39             | 4772             | 101                             | -                             | 0.800 | 6.828                                | 3.447                    |
| C                | 8.30             | 3586             | 138                             | -                             | 0.900 | 4.274                                | 3.453                    |
| SiC              | 8.25             | 4426             | 124                             | 30.1                          | 1.486 | 8.488                                | 3.148                    |
| SiC              | 8.43             | 3631             | 128                             | 31.4                          | 0.349 | 5.550                                | 3.848                    |

### Havaalanı Hidromorfik Toprağı

%0-2 eğimli, alüvyal ana materyal üzerinde oluşmuş olan bu topraklar O, A, AC ve C horizonlu, tekstürleri siltli kil ve kil olan orta derin topraklardır. Renk kromaları genellikle  $\leq 3$ 'dür. Organik madde miktarları %2.31-8.72 arasında değişmektedir. Diğer toprakta olduğu gibi bu topraktada baskın katyonlar Ca, Mg, Fe ve Mn'dır.

Bu topraklara ait örneklerin morfolojik, fiziksel ve kimyasal özellikleri aşağıda verilmiştir (Çizelge 2).

Profil no : 2

Yeri : Tokat havaalanı içi

Rölyef : %0-2 eğimli, Düz ve Düze yakın arazi

Ana materyal : Alüvyal

Vejetasyon : Mer'a, Doğal çayır

| Horizon         | Derinlik (cm) | Morfolojik Tanım  |
|-----------------|---------------|---|
| O               | 0-6           | Grimsi zeytuni (7,5 Y 4/2) yaş; Siltli kil; masif; Az yapışkan az plastik yaşı; orta kireçli; çok yoğun saçak kök; kesin dalgalı sınır  |
| A               | 6-30          | Donuk sarımsı kahverengi (10 YR 5/3) yaş; kil; zayıf orta yarı köşeli blok; az yapışkan az plastik yaşı; orta kireçli; orta yoğun saçak kök; az yoğun Fe benekleri; geçişli dalgalı sınır |
| AC              | 30-47         | Grimsi sarı kahverengi (10 YR 5/2) yaş; siltli kil; masif; az yapışkan az plastik yaşı; orta kireçli; az yoğun saçak kök; orta yoğun Fe ve Mn benekleri; geçişli dalgalı sınır            |
| C <sub>1g</sub> | 47-90         | Donuk kahverengi (7,5 YR 5/3) yaş; siltli kil; masif; az yapışkan az plastik yaşı; orta kireçli; az yoğun saçak kök; az yoğun Fe ve Mn benekleri; kesin düz sınır                         |
| C <sub>2g</sub> | 90+           | Gri (10 Y 5/1) yaş; siltli kil; masif; az yapışkan plastik değil yaşı; az kireçli; kök yok; çok yoğun Fe ve Mn benekleri  |

Çizelge 2. Havaalanı Hidromorfik Topraklarının Fiziksel ve Kimyasal Analiz Sonuçları

| Horizon         | Derinlik (cm) | KDK (me/100g)   | Değişebilir Katyonlar (me/100g) |                       |       | Org.Mad. (%)                  | CaCO <sub>3</sub> (%) |
|-----------------|---------------|-----------------|---------------------------------|-----------------------|-------|-------------------------------|-----------------------|
|                 |               |                 | Na                              | K                     | Ca+Mg |                               |                       |
| O               | 0-6           | 30.97           | 0.032                           | 0.11                  | 30.82 | 8.72                          | 16.18                 |
| A               | 6-30          | 23.36           | 0.032                           | 0.30                  | 23.02 | 3.98                          | 12.71                 |
| AC              | 30-47         | 23.36           | 0.032                           | 0.25                  | 23.07 | 4.09                          | 10.78                 |
| C <sub>1g</sub> | 47-90         | 15.76           | 0.010                           | 0.16                  | 15.50 | 2.31                          | 13.48                 |
| C <sub>2g</sub> | 90+           | 23.36           | 0.021                           | 0.25                  | 23.08 | 6.32                          | 8.47                  |
| Tekstür         | pH            | Toplam Fe (ppm) | Deg. Fe (ppm)                   | Suda Çözünebilir(ppm) |       | DTPA'da Exc. Edilebilir (ppm) |                       |
| SiC             | 7.90          | 2690            | 122                             | Fe                    | Mn    | Fe                            | Mn                    |
| C               | 8.28          | 3567            | 205                             | 175.7                 | 0.68  | 11.298                        | 4.475                 |
| SiC             | 8.39          | 4062            | 122                             | 112                   | 0.50  | 17.364                        | 8.321                 |
| SiC             | 8.42          | 3819            | 159                             | 60.8                  | 0.62  | 12.575                        | 3.967                 |
| SiC             | 7.64          | 3834            | 175                             | 26.3                  | 0.74  | 68.082                        | 8.650                 |

### Redoks Potansiyeli

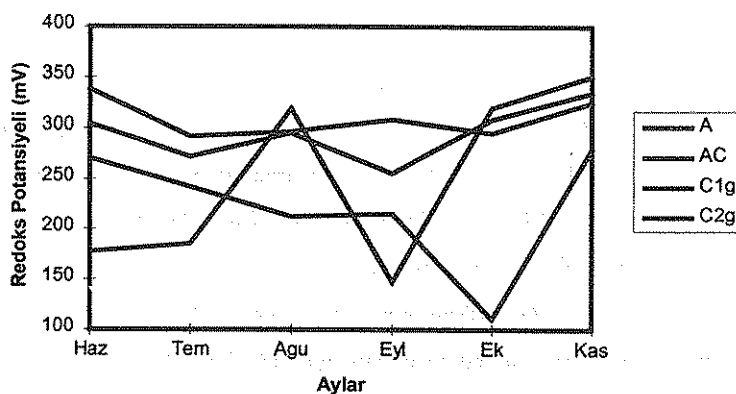
Çalışma yapılan topraklarda redoks potansiyeli zaman, yer ve derinliğe göre farklılıklar göstermiştir. Her iki toprak profili de horizon esasına göre tanımlanmış, belirlenen herbir horizonta her ay (6 ay boyunca) peryodik olarak redoks potansiyeli

ölçülmüş ve herbir horizonta zamana bağlı olarak redoks değişimleri grafiklenerek gösterilmiştir (Şekil 10, 11). Grafiklerden de görüldüğü gibi her iki toprakta da, aylara bağlı olarak oksidasyon ve redüksiyon koşulları değişikçe redoks potansiyelleride değişmiştir (Şekil 10 ve 11). Toprak profilinin su ile doygun yani redükte olduğu koşullar da redoks potansiyeli yükselir iken, taban suyunun düşmesi ve profilde oksidasyon koşullarının hakim duruma geçmesi ile redoks potansiyelde düşmüştür (Şekil 10 ve 11). Ölçüm değerlerinin alındığı bir aylık peryod içerisinde, yani aynı zamanda alınan ölçüm değerleri arasında farklılıkların olduğu görülmüştür. Profilde oksidasyon-redüksiyon sırasında Fe(II) ve Mn(II) formları profilenin alt horizonlarına yicanmıştır. Alt horizonlarda farkedilebilir bir Fe ve Mn birikimi göze çarpmaktadır. Fe ve Mn miktarının birikiminin fazla olduğu horizonlarda da redoks potansiyeli değerleri yüksek bulunmuştur.

Havaalanı mevkiden açılan profilde okunan redoks potansiyelleri, Çamlıbel-Yatmış mevkiden açılan profilde okunan redoks potansiyel değerlerinden yüksek bulunmuştur (Şekil 10, 11). Çizelge 1 ve 2'den görüldüğü gibi, toplam Fe, değişimdir Fe(III), suda çözünebilir Fe ve Mn ve DTPA'da ekstrakte edilebilir Fe ve Mn değerleri havaalanı topraklarında daha yüksektir. Fe ve Mn miktarının yüksek olması redoks potansiyelinde yüksek olmasına neden olmuştur.

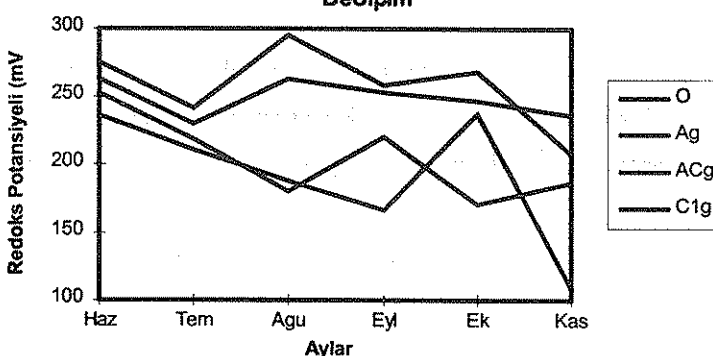
Çamlıbel hidromorfik toprağının derinlik ile redoks potansiyelindeki değişme dalgalı, genellikle artan ve azalan şekilde olmasına rağmen, havaalanı hidromorfik toprağının derinlik ile redoks potansiyeli genellikle artan bir şekilde değişmiştir. Bunun nedeni, Çamlıbel hidromorfik toprağının havaalanı hidromorfik toprağına göre, ölçüm yapılan bütün aylarda, su ile daha doygun yani devamlı redükte koşullarda olması, havaalanı hidromorfik toprağında ise oksidasyon ve redüksiyon koşullarının devamlı olmamasından ve Fe ve Mn miktarlarının yüksek olmasından kaynaklandığı şeklinde açıklanabilir.

**Şekil 10. Havaalanı Hidromorfik Toprağına Ait Örneklerin Aylara Göre Redoks Potansiyelindeki Değişim**



Çamlıbel hidromorfik toprağının O horizonunda organik madde miktarı çok yüksek seviyesindedir (Çizelge 1). Bu toprakta, yüksek organik madde, Fe ve Mn reduksiyon ve oksidasyonunu kamufl etmiştir. Fe ve Mn yılanması köklerin geliştiği kök kanalları ve ped yüzeyleri ile makroporlar boyunca meydana gelmektedir. Fe ve Mn yılanması toprakta yavaş yavaş cereyan eden bir olaydır.

**Şekil 11. Çamlıbel- Yatırı Hidromorfik Toprağına Ait Örneklerin Aylara Göre Redoks Potansiyelindeki Değişim**



Fe ve Mn yıkanmasının oluşması ve daha da artması için kökler makroporlar boyunca büyümeli, daha sonra ölmeli ve Fe ve Mn redüksiyonuna neden olması içinde ayrılmalıdır. Çamlıbel hidromorfik toprağının O horizonunda kökler makroporlar boyunca gelişmiş fakat daha henüz ölmemişinden, Fe ve Mn redüksiyonu ve dolayısıyla yıkanması gerçekleşmemiştir. Bundan dolayıda, O horizonundaki redoks potansiyeli diğer horizontlara göre daha düşük bulunmuştur.

## KAYNAKLAR

- Adams, F., 1965.** Manganese. In: C.A. Black et al. (ed). Methods of Soil Analysis, part 2. Agronomy 9: 1011-1018. Am. Soc. of Agron., Inc., Madison, Wisconsin, USA.
- Bouyoucos, 1952.** A Recalibration of the Hydrometer. Method for Making Mechanical Analysis of Soil.
- Bullock, P., N., N., Federoff, A., Jungerius, G., Stoops, ve T., Tursina. 1985.** Handbook for Soil Thin Section Description. Waine Res. Publ., Wolverhampton, U.K.
- Collins, J. F., ve S. W. Buol. 1970.** Effects of Fluctuations in the Eh-pH environment on Iron and /or Manganese equilibria. Soil Sci. 110:111-118.
- Daniels, R. B., ve S. W. Buol. 1992.** Water Table Dynamics and Significance to Soil Genesis. pp. 66-74. In J. M. Kimble (Ed.) Proc. Eighth Int. Soil Corr. Meetings (VIII ISCOM): Characterization, Classification, and Utilization of Wet Soils, USDA, Soil Cons. Serv., National Soil Survey Center, Lincoln, NE.
- Daniels, R. B., E. E. Gamble, ve L. J. Bartelli. 1986.** Eluvial Bodies in B horizons for Some Ultisols. Soil Sci. 106. 200-206.
- Fisher, H. M., ve E. L. Stone. 1991.** Iron Oxidation at The Surfaces of Slash Pine Roots from Saturated Soils. Soil Sci. Soc. Am. J. 55:1123-1129.
- Hyde, A. G., ve R. D. Ford. 1989.** Water Table Fluctuation in Representative Immokalee and Zolfo Soils of Florida. Soil Sci. Soc. Am. J. 53:1475-1478.
- Jackson, M., L., 1960.** Soli Chemical Analysis. Part 2: 910. Amer. Soc. of Agro. Inc. Publisher, Madison, Wisconsin, USA.

- Lindsay, W., L., and Norwell, W., A., 1978.** Development of a DTPA soil test for Zinc, Iron, Manganese, and Copper. *Soil Sci. Soc. Am. J.* 42: 421-428.
- Olson, R., W., and Ellis, R., J., 1982.** Iron. Methods of Soil Analysis, Part 2. Chemical and Microbiological Properties. *Agronomy Monograph no:9:* 301-312. ASA-SSSA. Madison, Wisconsin, USA.
- Ponnamperuma, F. N. 1972.** The Chemistry of Submerged Soils, *Adv. Agron.* 24:29-96.
- Ransom, M. D., N. E. Smeck, ve J. M. Bigham. 1987.** Micro-morphology of Seasonally Wet Soils on The Illinoisan Till Plain, USA. *Geoderma* 40:83-100.
- Vepraskas, M. J., L. P. Wilding. 1983a.** Albic Neoskeletans in Argillic Horizons as Indices of Seasonal Saturation and Iron Reduction. *Soil Sci. Soc. Am. J.* 47:1202-1208.